

Kinetics of Zinc, Manganese and Magnesium Release from Layered Double Hydroxides (Mg-Zn-Mn-Al-LDH): Effect of Citric Acid and Tartaric Acid

Z. Movahedi Rad¹, M. Hamidpour^{2*}, A. Tajabadipour²

1- Department of Agriculture, Payame Noor University, Tehran, Iran

2- Soil Science Department, Faculty of Agriculture, Vali-e-Asr University of Rafsanjan, Rafsanjan, Iran

(* - Corresponding Author Email: m.hamidpour@vru.ac.ir)

Received: 24-11-2024	How to cite this article: Movahedi Rad, Z., Hamidpour, M., & Tajabadipour, A. (2025). Kinetics of zinc, manganese and magnesium release from layered double hydroxides (Mg-Zn-Mn-Al-LDH): Effect of citric acid and tartaric acid. <i>Journal of Water and Soil</i> , 39(1), 73-89. (In Persian with English abstract). https://doi.org/10.22067/jsw.2025.90947.1448
Revised: 17-02-2025	
Accepted: 17-03-2025	
Available Online: 17-03-2025	

Introduction

Recently, layered double hydroxides (LDHs) with a unique structure and unbeatable characteristics have been widely studied and investigated in various fields. One of these fields is the investigating the potential of these compounds to supply essential nutrients for plants. Several studies have reported the application of LDHs as fertilizers for macronutrients and micronutrients. These compounds have a very high potential as fertilizers and can increase agricultural productivity. Micronutrients such as Zn, Cu and Mn can be structurally incorporated in the metal hydroxide layer. According to recent research, LDHs have shown a suitable potential to release micronutrients. However, more studies are needed to enhance our understanding of the mechanism and reaction of layered double hydroxides in different conditions. Although various studies have explored the potential of LDHs as slow-release fertilizers, our research focuses on the role of citric acid and tartaric acid and as well as the ratio of divalent to trivalent cations on the kinetics of Zn, Mn and Mg release from Mg-Zn-Mn-Al-LDH intercalated with nitrate.

Materials and Methods

All chemicals used in this study including citric acid ($C_6H_8O_7 \cdot H_2O$), tartaric acid ($C_4H_6O_6$) KCl, Zn ($(NO_3)_2 \cdot 6H_2O$), Mn($(NO_3)_2 \cdot 4H_2O$) Mg($(NO_3)_2 \cdot 6H_2O$) and Al($(NO_3)_3 \cdot 9H_2O$) were of analytical grades, purchased from Chem-Lab or Merck Chemical Corporations. Solutions were prepared using decarbonated ultrapure water (electrical resistivity = 18 MΩcm). The LDHs were synthesized by co-precipitation method at constant pH = 9.2-9.6. Two types of LDHs were synthesized by varying the $M^{+2}(Zn+Mn+Mg)/M^{+3}(Al)$ ratios of 3:1 and 4:1 in the precursor solution while stirring vigorously in a nitrogen atmosphere. The pH was kept at 9.2-9.6 by adding volumes of 3 M NaOH. The LDH crystals were allowed to ripen in the mixture for 2 hours, after which the precipitates were centrifuged at 3000 rpm for 20 min and washed several times with distilled water and placed in an oven at 70°C for 8 hours to dry.

The chemical composition of the synthesized layered double hydroxides (LDHs) was analyzed using furnace atomic absorption spectrophotometry (SavantAA, GBC) following acid digestion. The physical, chemical, and morphological characteristics of the LDHs were assessed through several techniques, including X-ray diffraction (Panalytical X Pert Pro X-ray diffractometer), field emission scanning electron microscopy (FE-SEM, Sigma VP), Fourier-transform infrared spectroscopy (FT-IR, Nicolet iS10 spectrometer), and Brunauer-Emmett-Teller (BET, BELSORP Mini II) analysis.



©2025 The author(s). This is an open access article distributed under [Creative Commons Attribution 4.0 International License \(CC BY 4.0\)](https://creativecommons.org/licenses/by/4.0/).

<https://doi.org/10.22067/jsw.2025.90947.1448>

A batch study was conducted to evaluate the effects of varying M^{2+}/M^{3+} ratios in LDHs and the influence of citric acid and tartaric acid on the release of Zn, Mn, and Mg from LDH (3:1) and LDH (4:1). In brief, 0.01 g of synthesized LDH was placed in a centrifuge tube and mixed with 10 ml of background electrolyte (0.01 M KCl) and 1.25 mM of citric acid or tartaric acid, maintaining an initial pH of 6–7 at a constant temperature of 25 ± 0.5 °C. Blank samples (without ligands) were also included for comparison. The suspensions were shaken for time periods ranging from 5 to 720 minutes at an agitation speed of 180 rpm. After shaking, the supernatant was separated by centrifugation at 4000 rpm for 20 minutes. The concentrations of Zn, Mn, and Mg in the supernatant solutions were determined using graphite furnace atomic absorption spectrophotometry.

To describe the time-dependent release of Zn, Mn, and Mg, several kinetic models were tested. Among the five models evaluated, the pseudo-second-order and power function models provided the best fit for the kinetic data. Additionally, the chemical species present in the initial solution and the saturation index (SI) of various minerals were predicted using the Visual MINTEQ 3.1 computer code.

Results and Discussion

The results indicated that the calculated molar ratio of divalent cations to trivalent cations closely matched the molar ratios used in the synthesis of the layered double hydroxide (LDH) samples. The X-ray diffraction (XRD) patterns for both LDH (3:1) and LDH (4:1) samples exhibited strong and sharp peaks corresponding to the 003 and 006 reflections, confirming the layered structure of the synthesized materials. Fourier-transform infrared (FT-IR) spectroscopy revealed two significant absorption bands around 3480 cm^{-1} and 1620 cm^{-1} in all synthesized LDH materials, which are indicative of stretching vibrations associated with the O-H groups in the hydroxide layers and the interlayer water molecules. Additionally, a sharp band at approximately 1382 cm^{-1} in LDH (3:1) and a band at around 1354 cm^{-1} in LDH (4:1) were attributed to the antisymmetric stretching mode of the nitrate anion present in the LDH structure. The specific surface areas of LDH (3:1) and LDH (4:1) were measured at $5.50\text{ m}^2/\text{g}$ and $16.54\text{ m}^2/\text{g}$, respectively. Correspondingly, the average pore diameters were found to be 1.92 nm for LDH (3:1) and 2.55 nm for LDH (4:1), indicating differences in porosity between the two samples. The time-dependent cumulative release of Zn, Mn, and Mg from LDH (3:1) and LDH (4:1) in the presence and absence of citric acid and tartaric acid was investigated. The release of these micronutrients was accelerated in the presence of both organic acids. The release process appeared to occur in two stages: during the initial stage (0 to 50 minutes), the release rate of Zn, Mn, and Mg was rapid, followed by a period from 50 to 720 minutes where the release rate either fixed or slightly increased.

In this research, among the non-linear models which were used to determine the release kinetics of Zn, Mn, and Mg, the one with the highest R^2 values was chosen. The R^2 values ranged from 0.81 to 0.99 for the pseudo-first-order model, 0.89 to 0.93 for the pseudo-second-order model, 0.97 to 0.99 for the Elovich model, 0.89 to 0.99 for the power function model, and 0.55 to 0.86 for the parabolic diffusion model. Ultimately, the pseudo-second-order and power function models were chosen to analyze the kinetic data. The amount of Zn, Mn and Mg released at equilibrium (q_e) were higher in the presence of citric acid (42%) compared to tartaric acid. Additionally, the release of these elements was greater from LDH (4:1) than from LDH (3:1). This suggests that increasing the ratio of divalent cations to trivalent cations reduces the stability of LDH, enhancing the release of micronutrients.

Conclusion

The results of this study demonstrated that the release of Zn, Mn, and Mg from layered double hydroxides (LDHs) was influenced by time, the type of low molecular weight organic acid, and the ratio of divalent to trivalent cations in the LDH structure. Kinetic modeling revealed that the release rates of Zn, Mn, and Mg from LDH with a 4:1 ratio were higher than those from LDH with a 3:1 ratio. Additionally, the dissolution rates of LDHs were faster in the presence of citric acid compared to tartaric acid. To further assess the potential of LDHs as slow-release micronutrient fertilizers in calcareous soils, additional greenhouse and soil experiments are recommended.

Keywords: Kinetic models, Low molecular weight organic acid, Micronutrients, Slow-release fertilizer

سینتیک رهاسازی روی، منگنز و منیزیم از هیدروکسیدهای دوگانه لایه‌ای Mg-Zn-Mn-Al-LDH تحت تأثیر اسید سیتریک و اسید تارتاریک

زهرا موحدی راد^۱ - محسن حمیدپور^{۲*} - احمد تاج آبادی پور^۲

تاریخ دریافت: ۱۴۰۳/۰۹/۰۴

تاریخ پذیرش: ۱۴۰۳/۱۲/۲۷

چکیده

اخیراً پتانسیل هیدروکسیدهای دوگانه لایه‌ای در تأمین عناصر ضروری گیاهان به‌طور گسترده مورد توجه قرار گرفته است. در این پژوهش Mg-Zn-Mn-Al-LDH با آنیون بین لایه‌ای نیترات با دو نسبت کاتیون دو به سه ظرفیتی 3:1 (LDH (3:1)) و 4:1 (LDH (4:1)) به روش هم‌سویی تهیه شد. پس از بررسی ویژگی‌های ساختاری و مورفولوژیکی با استفاده از تکنیک‌های XRD، SEM، FTIR و BET، روند رهاسازی عناصر روی، منگنز و منیزیم از آن‌ها در حضور و عدم حضور اسیدهای آلی سیتریک و تارتاریک با مطالعات پیمانه‌ای مورد بررسی قرار گرفت. از بین مدل‌های سینتیکی مختلف، مدل‌های تابع توانی و شبه مرتبه دوم به‌دلیل دارا بودن ضریب تبیین (R^2) بیشتر و خطای تخمین استاندارد کمتر (SE) جهت برازش بر داده‌های سینتیکی مورد استفاده قرار گرفتند. نتایج نشان داد اسیدهای آلی نقش مهمی در رهاسازی عناصر از ساختار LDH داشته به‌گونه‌ای که در حضور اسید سیتریک، از LDH (3:1) مقدار رهاسازی روی، منگنز و منیزیم به‌ترتیب ۹۹، ۹۹ و ۹۱ درصد و از LDH (4:1) به‌ترتیب ۹۷، ۹۸ و ۸۵ درصد بیشتر از عدم حضور این اسید بود. همچنین در حضور اسید تارتاریک مقدار رهاسازی روی، منگنز و منیزیم از LDH (3:1) به‌ترتیب ۹۹، ۹۰ و ۸۹ درصد و از LDH (4:1) این مقادیر ۹۳، ۸۶ و ۶۹ درصد بیشتر از عدم حضور این اسید بود. نسبت کاتیون دو به سه ظرفیتی در ساختار LDH تأثیر مستقیم بر پایداری LDH داشته و افزایش این نسبت منجر به کاهش پایداری LDH گردید. با توجه به نتایج حاصل می‌توان در رویکردی جدید هیدروکسیدهای دوگانه لایه‌ای را به‌عنوان ترکیبات کودی با قابلیت آزادسازی آرام عناصر غذایی در شرایط کمبود آن‌ها و در حضور گیاه مورد بررسی بیشتر قرار داد.

واژه‌های کلیدی: اسیدهای آلی با وزن مولکولی کم، عناصر کم مصرف، کودهای کندرها، مدل‌های سینتیکی

مقدمه

تبخیر، آلودگی به فلزات سنگین و راندمان پایین جذب توسط گیاه، اثر نامطلوبی بر اقتصاد و محیط زیست دارند (Lakshani et al., 2023). در این راستا به‌منظور افزایش بهره‌وری کشاورزی، توسعه و کاربرد موادی که علاوه بر سازگاری با محیط زیست بتوانند عناصر غذایی ضروری گیاه را به آرامی آزاد نموده و نیاز گیاه را تأمین کنند، ضروریست. در بین انواع ترکیبات موجود، می‌توان به هیدروکسیدهای دوگانه لایه‌ای^۳ به‌عنوان یکی از گزینه‌ها جهت رسیدن به اهداف ذکر

تأمین نیاز غذایی جمعیت رو به رشد جهان از اهمیت ویژه و قابل توجهی برخوردار است (Alexandratos & Bruinsma, 2012). در این راستا استفاده از کودهای شیمیایی به‌عنوان یک راهبرد متداول برای تأمین عناصر غذایی مورد نیاز گیاه و افزایش تولید محصول متداول بوده اما به‌دلیل دارا بودن ویژگی‌هایی مانند حلالیت زیاد،

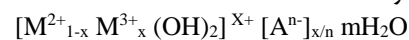
۱- گروه کشاورزی، دانشگاه پیام نور، تهران، ایران

۲- گروه علوم خاک، دانشکده کشاورزی، دانشگاه ولی عصر (عج) رفسنجان، رفسنجان، ایران

(*)- نویسنده مسئول: Email: m.hamidpour@vru.ac.ir

شده اشاره نمود. این ترکیبات پتانسیل بسیار بالایی برای استفاده به صورت کود کدرها و افزایش تولید محصولات کشاورزی دارند (Zhang et al., 2019; & Roy et al., 2023).

هیدروکسیدهای دوگانه لایه‌ای (LDHs)، گروهی از رس‌های آنیونی با بار مثبت و دارای ساختاری شبیه به کانی برو سایت هستند (Li & Duan, 2005). در این ترکیبات بخشی از کاتیون‌های دوظرفیتی که در شبکه هشت وجهی با گروه‌های هیدروکسیل هم‌آرایی شده‌اند، با کاتیون‌های سه ظرفیتی جایگزین شده و در نتیجه مقداری بار مثبت خنثی نشده در ساختار ترکیب به وجود می‌آید که به وسیله آنیون‌های بین لایه‌ای خنثی می‌گردد (Zhang et al., 2021). معمولاً جهت توصیف ساختار هیدروکسیدهای دوگانه لایه‌ای فرمول زیر ارائه می‌گردد:



که در آن M^{2+} و M^{3+} به ترتیب کاتیون‌های فلزی دو ظرفیتی و سه ظرفیتی، A^{n-} آنیون n ظرفیتی و x برابر نسبت مولی کاتیون سه ظرفیتی به دو ظرفیتی $(M^{2+}+M^{3+})/M^{3+}$ است (Kameliya et al., 2023).

این ترکیبات به عنوان سامانه‌های هیبریدی دارای کاربردهای متنوع در زمینه‌های پزشکی (به ویژه داروسازی و ژن درمانی)، الکتروشیمی، فتوشیمی و محیط زیست می‌باشند (Figueredo Benicio et al., 2018). اخیراً گزارش‌هایی از کاربرد این ترکیبات در حوزه کشاورزی به عنوان منابعی برای ذخیره و رهاسازی آهسته مواد شیمیایی مانند علف‌کش‌ها، تنظیم کننده‌های رشد و عناصر غذایی منتشر شده است (Cardoso et al., 2006; Benicio et al., 2017; Bernardo et al., 2017).

هیدروکسیدهای دوگانه لایه‌ای دارای پایداری مناسبی در شرایط محیطی هستند (Khan et al., 2023) اما درون خاک این پایداری تحت تأثیر عوامل مختلفی از جمله وجود اسیدهای آلی قرار می‌گیرد. طیف وسیعی از اسیدهای آلی در خاک وجود دارند که غلظت آن‌ها در محدوده 10^{-3} تا 10^{-4} مول بر لیتر برای خاک‌هایی با ۲۰ درصد رطوبت گزارش شده است (Evans, 1991). اسیدهای آلی با وزن مولکولی کم نقش بسیار مهمی در تحرک، فراهمی زیستی و انتقال عناصر از بخش‌های مختلف خاک به سوی ریشه گیاهان دارند که در بین آن‌ها اسید سیتریک و اسید تارتاریک در باروری خاک اهمیت ویژه‌ای دارند (Adeleke et al., 2017). یکی دیگر از عوامل مؤثر بر رهاسازی عناصر از این ترکیبات نسبت کاتیون دو ظرفیتی به سه ظرفیتی در ساختار هیدروکسیدهای دوگانه لایه‌ای است. همراه با افزایش تعداد کاتیون سه ظرفیتی و کاهش تعداد کاتیون دو ظرفیتی پایداری LDH افزایش می‌یابد و بالعکس و این فرایند به دلیل تأثیر مقدار بار مثبت در ظرفیت تبادل آنیونی و تأثیر بر قدرت پیوند بین لایه‌های هیدروکسید و آنیون‌های بین لایه‌ای می‌باشد (Everaert

et al., 2016). نسبت کاتیون دو ظرفیتی به سه ظرفیتی منجر به تغییر در اندازه بلورهای LDH می‌شود. همچنین کاتیون‌های دو ظرفیتی نیز با تأثیر بر مکان‌های واکنش‌های ردوکس بر میزان پایداری این ترکیبات اثر مستقیم دارند (Khan et al., 2023).

در متون علمی متعدد گزارش‌های مختلفی از مطالعه این ترکیبات جهت بررسی پتانسیل آن‌ها در تأمین عناصر غذایی پرمصرف و کم مصرف ارائه شده است. به عنوان مثال حلاج‌نیا و همکاران (Halajnia et al., 2013) پتانسیل آزادسازی نیترات از Mg-Al-LDH را بررسی کردند. اواررت و همکاران (Everaert et al., 2016) نیز رهاسازی فسفر از Mg-Al-LDH را مطالعه نمودند. لوپز و همکاران (López-Rayó et al., 2017) به بررسی رهاسازی روی از Zn-Mg-Fe-LDH پرداختند. حاتمی و همکاران (Hatami et al., 2018) رهاسازی فسفر از Zn-Al-LDH با دو نسبت مولی مختلف Zn/Al (۲ و ۳) را با کود سوپر فسفات تریپل مقایسه کردند. سونگخوم و همکاران (Songkhum et al., 2018) رهاسازی روی و بور از Zn-Al-LDH و همچنین شفیق و همکاران (Shafigh, Hamidpour & Furrer, 2019) رهاسازی روی از Zn-Mg-Fe(III)-LDH با آنیون بین لایه‌ای فسفات و نیترات در حضور اسیدهای آلی را مورد مطالعه قرار دادند. اواررت و همکاران (Everaert et al., 2023) رهاسازی مولیبدن از Zn-Al-LDH با آنیون بین لایه‌ای مولیبدات در نسبت مختلف روی به آلومینیوم (۲، ۳ و ۴) را مورد بررسی قرار دادند. حاتمی و فتوت (Hatami & Fotovat, 2023) نیز Zn[Mn]Al-LDHs را به عنوان ماتریکسی جهت رهاسازی بور، روی و منگنز در محیط شبیه سازی شده محلول خاک در حضور اسیدهای آلی بررسی کردند. حسن‌زاده و همکاران (Hassanzadeh et al., 2024) کارایی هیدروکسید دوگانه لایه‌ای را به عنوان کود کدرهای فسفر در حضور ریزوباکتری‌های محرک رشد گیاه، مورد مطالعه و بررسی قرار داده‌اند. با وجود مطالعات گسترده انجام شده در زمینه LDHs، تاکنون تحقیقات محدودی به بررسی آزادسازی همزمان عناصر روی، منگنز و منیزیم از هیدروکسیدهای دوگانه لایه‌ای با آنیون بین لایه‌ای نیترات در نسبت‌های متفاوت کاتیون‌های دو به سه ظرفیتی تحت تأثیر اسیدهای آلی سیتریک و تارتاریک پرداخته‌اند. بنابراین تحقیق حاضر، با هدف مقایسه رهاسازی روی، منگنز و منیزیم از Mg-Zn-Mn-Al-LDH در دو نوع LDH (3:1) و LDH (4:1) تحت تأثیر اسید سیتریک و اسید تارتاریک در طی زمان‌های متفاوت و مطالعه سینتیک رهاسازی این عناصر از ترکیبات سنتز شده انجام شد.

مواد و روش‌ها

در این پژوهش از روش هم‌رسوبی^۱ جهت ساخت Mg-Zn-Mn-Al(III)-LDH با آنیون بین لایه‌ای نیترات و با نسبت‌های کاتیون دو به سه ظرفیتی سه به یک و چهار به یک (به ترتیب LDH (3:1) و LDH (4:1)) استفاده شد (Everaert et al., 2016). برای این منظور نمک‌های نیترات روی ($Zn(NO_3)_2 \cdot 6H_2O$)، نیترات منگنز ($Mn(NO_3)_2 \cdot 4H_2O$)، نیترات منیزیم ($Mg(NO_3)_2 \cdot 6H_2O$) و نیترات آلومینیوم ($Al(NO_3)_3 \cdot 9H_2O$) مورد استفاده قرار گرفتند. برای ساخت LDH (3:1) و LDH (4:1) نمک‌های حاوی کاتیون‌های دو ظرفیتی در غلظت‌های به ترتیب ۰/۷۵ و ۰/۸ مولار و نمک حاوی کاتیون سه ظرفیتی در غلظت‌های به ترتیب ۰/۶ و ۰/۷۵ مولار تهیه گردید و عمل سنتز در محدوده pH ۹/۹-۹/۲ و در شرایط اتمسفر نیتروژن انجام شد. به منظور تنظیم pH از محلول NaOH با غلظت ۳ مولار استفاده شد. سپس جهت طی شدن مرحله پیرشدگی^۲ ر سوبات سفید رنگ تشکیل شده به مدت ۲ ساعت به حال خود رها شدند. پس از گذشت مدت زمان ذکر شده عمل سانتریفیوژ با سرعت ۳۵۰۰ دور در دقیقه به مدت ۲۰ دقیقه جهت جدا نمودن رسوبات از محلول، انجام شد. سپس، طی چندین مرتبه عمل شستشو با آب مقطر دو بار تقطیر و سانتریفیوژ (با سرعت ۳۵۰۰ دور در دقیقه و مدت زمان ۲۰ دقیقه) خروج نمک‌های اضافی انجام شد و در نهایت رسوبات به مدت ۸ ساعت در آون در دمای ۷۰ درجه سلسیوس خشک شدند.

برای بررسی وضعیت ساختار بلوری از دستگاه پراش پرتو ایکس (XRD) مدل Bruker D8 Advance، با پرتو $CuK\alpha$ با طول موج ۰/۱۵۴ نانومتر در ۴۰ کیلوولت و ۴۰ میلی‌آمپر در محدوده زوای اندازه‌گیری ۲θ بین ۵ تا ۷۹/۹۷ درجه، مورفولوژی و نوع اتم‌های موجود در ساختمان ترکیبات سنتز شده با میکروسکوپ الکترونی روبشی SEM مجهز به EDS (Zeiss, Germany) نوع پیوند از طریق طیف‌سنجی مادون قرمز (FT-IR) مدل (Nicolet iS10) در محدوده عدد موجی $4000-500\text{ cm}^{-1}$ و سطح ویژه با دستگاه اندازه‌گیری سطح ویژه (BET) ارزیابی گردید.

برای بررسی سینتیک رهاسازی روی، منگنز و منیزیم از LDH (3:1) و LDH (4:1) در حضور اسید سیتریک و اسید تارتاریک مقدار ۱۰ میلی‌گرم از هر LDH توزین و به لوله‌های فالكون حاوی ۱۰ میلی‌لیتر الکترولیت زمینه ۰/۰۱ مولار کلرید پتا سیم در حضور و عدم حضور اسیدهای آلی با غلظت ۱/۲۵ میلی‌مولار با pH اولیه ۶-۷ و در دو تکرار اضافه گردید. سوسپانسیون‌ها در دوره‌های زمانی ۵، ۱۵، ۳۰، ۶۰، ۱۲۰، ۲۴۰، ۴۸۰ و ۷۲۰ دقیقه تکان داده شده و سپس به وسیله سانتریفیوژ با سرعت ۴۰۰۰ دور در دقیقه به مدت ۲۰ دقیقه محلول

زال رویی از بخش جامد جدا گردید. غلظت عناصر روی، منگنز و منیزیم به وسیله دستگاه طیف‌سنج اتمی (Savant AA, CBC) در محلول رویی اندازه‌گیری شد.

برازش مدل‌های سینتیکی بر داده‌های رهاسازی تجمعی عناصر روی، منگنز و منیزیم توسط فرم غیر خطی معادله‌های شبه مرتبه اول، شبه مرتبه دوم، الووچ ساده شده، تابع توانی و پخشیدگی پارابولیکی در محیط نرم‌افزار DataFit9 انجام شد (جدول ۱). معادلاتی که دارای بالاترین ضریب تبیین (R^2) و کمترین خطای استاندارد (SE)، که فرمول محاسبه آن در ذیل آمده است، جهت پیش‌بینی سینتیک رهاسازی عناصر انتخاب و نمودارها با استفاده از نرم‌افزار Excel رسم گردید.

$$SE = \sum_{n=1}^N (\hat{r}_n - r_n)^2 \quad (۱)$$

در این معادله \hat{r}_n و r_n به ترتیب میانگین مقدار عنصر اندازه‌گیری شده (واقعی) و میانگین مقدار عنصر برآورد شده توسط مدل در زمان t می‌باشند (Wang & Lu, 2018).

نتایج و بحث

الگوی پراش پرتو ایکس نمونه‌های LDH سنتز شده در شکل ۱ نشان داده شده است. الگوهای پراش پرتو ایکس در LDH (3:1) و LDH (4:1) مطابق با ویژگی‌های ساختاری مورد انتظار در هیدروکسیدهای دوگانه لایه‌ای است و دارای پیک‌های تیز و قوی در 2θ حدود ۱۱ و ۲۳ درجه که مربوط به صفحات ۰۰۳ و ۰۰۶ و پیک‌های پهن و نامتقارن در 2θ ‌های بالاتر مربوط به صفحات ۰۱۲، ۰۱۵، ۰۱۸، ۱۱۰ (2θ حدود ۶۰ درجه) و ۱۱۳ (2θ حدود ۶۲ درجه) می‌باشد. نتایج الگوی پراش پرتو ایکس موفقیت‌آمیز بودن سنتز ترکیبات LDH را تأیید می‌نماید (Meili et al., 2019).

ویژگی‌های مربوط به شبکه^۳ نمونه‌های سنتز شده در جدول ۲ ارائه شده‌اند. پارامتر a که با کوتاه‌ترین فاصله کاتیون-کاتیون در لایه درونی ورقه شبه بروسایت مطابقت دارد از طریق معادله ۲ قابل محاسبه است:

$$a = 2 \times d_{(110)} \quad (۲)$$

پارامتر c که نشان‌دهنده ضخامت بین لایه‌ای است از طریق معادله ۳ محاسبه گردید:

$$c = 3 \times d_{(003)} \quad (۳)$$

و پارامتر D که نشان‌دهنده اندازه کریستال‌های^۴ تشکیل شده است از طریق معادله ۴ محاسبه شد:

$$D = \frac{0.9\lambda}{\beta \cdot \cos\theta} \quad (۴)$$

3- Lattice parameters

4- Crystallite size

1- Co-Precipitation

2- Ripened

جدول ۱- مدل‌های سینتیکی مورد استفاده

Table 1- Used kinetic models

مدل‌های سینتیکی Kinetics model	معادلات Equations	پارامترها Parameters
شبه مرتبه اول Pseudo-first-order	$q_t = q_e (1 - e^{-k_1 t})$	t = زمان تعادل (دقیقه) t = Equilibrium time (min) q_t = مقدار عنصر رها شده (میلی گرم بر گرم) در زمان q_t = the amount of released elements (mg g ⁻¹) at time q_e = مقدار عنصر رها شده (میلی گرم بر گرم) در زمان تعادل q_e = the amount of released elements (mg g ⁻¹) at equilibrium time K_1 = ثابت سرعت معادله سینتیکی شبه مرتبه اول K_1 = rate constant of pseudo-first order
شبه مرتبه دوم Pseudo-second-order	$q_t = \frac{q_e^2 k_2 t}{1 + q_e k_2 t}$	t = زمان تعادل (دقیقه) t = Equilibrium time (min) q_t = مقدار عنصر رها شده (میلی گرم بر گرم) در زمان q_t = the amount of released elements (mg g ⁻¹) at time q_e = مقدار عنصر آزاد شده (میلی گرم بر گرم) در زمان تعادل q_e = the amount of released elements (mg g ⁻¹) at equilibrium time K_2 = ثابت سرعت معادله سینتیکی شبه مرتبه دوم (گرم بر میلی گرم در دقیقه) K_2 = rate constant of pseudo-second-order kinetic equation (g mg ⁻¹ min ⁻¹) $h = k_2 q_e^2$ = مقدار رهاسازی اولیه (میلی گرم بر گرم در دقیقه) h = the initial release rate value (mg g ⁻¹ min ⁻¹)
تابع توانی Power function	$q_t = at^b$	t = زمان تعادل (دقیقه) t = Equilibrium time (min) q_t = مقدار عنصر رها شده (میلی گرم بر گرم) در زمان q_t = the amount of released elements (mg g ⁻¹) at time a و b = ثابت‌های معادله تابع توانی a and b = constant of power function
پخشیدگی پارابولیک Parabolic diffusion	$q_t = Rt^{\frac{1}{2}} + C$	R = ثابت سرعت معادله سینتیکی پخشیدگی پارابولیک (میلی گرم بر گرم در دقیقه) R = the rate constant of the parabolic diffusion kinetic equation (mg g ⁻¹ min ⁻¹) C = عرض از مبدا معادله پخشیدگی پارابولیک C = Parabolic diffusion equation y-intercept
الوویچ Elovich	$q_t = \left(\frac{1}{\beta}\right) \ln(\alpha\beta) + \left(\frac{1}{\beta}\right) \ln t$	t = زمان تعادل (دقیقه) t = Equilibrium time (min) q_t = مقدار عنصر رها شده (میلی گرم بر گرم) در زمان q_t = the amount of released elements (mg g ⁻¹) at time α و β = ثابت‌های معادله الوویچ α and β = constant of Elovich

کوچک‌تری (۰/۵۳ آنگستروم) نسبت به یون‌های دو ظرفیتی روی، منگنز و منیزیم (شعاع یونی در محدوده ۰/۶۵ تا ۰/۸۰ آنگستروم) دارد (Mishra *et al.*, 2018) و همین ویژگی منجر به افزایش فاصله کاتیون-کاتیون در LDH با مقدار یون دو ظرفیتی بیشتر گردیده است.

فاصله بین لایه‌ای (c) در LDH (3:1) برابر با ۲۳/۸۹۹ و در LDH (4:1) برابر با ۲۴/۱۳۴ آنگستروم بود. همان‌طور که مشخص است همراه با افزایش نسبت کاتیون دو به سه ظرفیتی فاصله کاتیون-کاتیون (a) و فاصله بین لایه‌ای (c) نیز افزایش یافته که این روند با

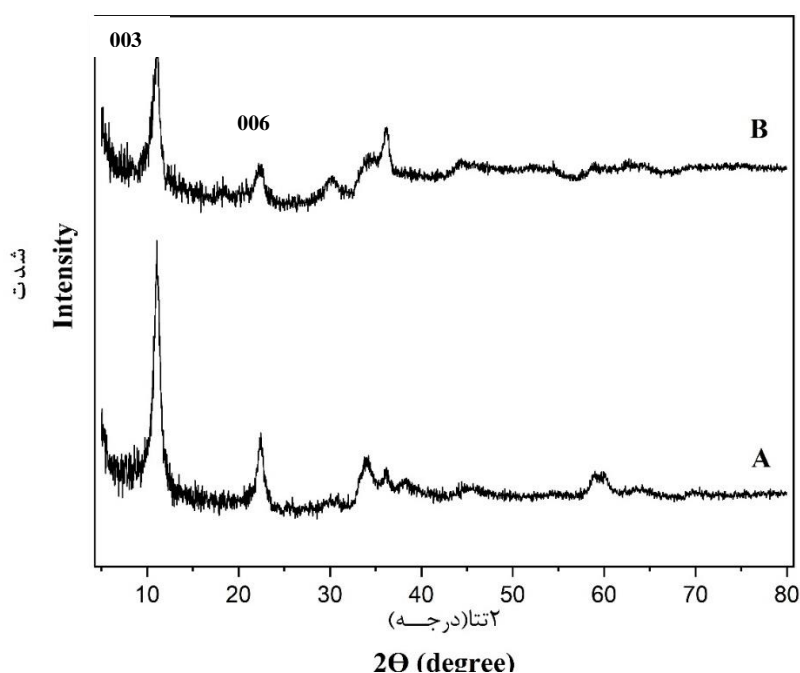
که در این معادله λ برابر با طول موج پرتو CuK α که برابر با ۰/۱۵۴۰۶ نانومتر و β برابر با FWHM^۱ در 2θ مربوط به $d_{(003)}$ و بر حسب نانومتر می‌باشد (Koilaraj & Kannan, 2010).

فاصله کاتیون-کاتیون (a) در LDH (3:1) و LDH (4:1) به ترتیب برابر با ۳/۰۸۱ و ۳/۱۲۴ آنگستروم است. مقدار a به‌دست آمده در محدوده a گزارش شده برای انواع LDHs می‌باشد (Hassanzadeh *et al.*, 2024). همراه با کاهش مقدار آلومینیوم در ترکیب مقدار این پارامتر افزایش یافته است. زیرا در مقایسه شعاع یونی کاتیون‌های سه و دو ظرفیتی یون آلومینیوم شعاع یونی

1- Full width at half maximum

و شرایط آزمایشگاهی باشد (Koilarj & Kannan, 2010). در متون علمی، مقادیر متفاوتی برای فاصله بین لایه‌ای در ساختارهای LDHs حاوی آنیون بین لایه‌ای نیترات گزارش شده است. بعضی از محققین فاصله بین لایه‌ای ۸/۶۷ آنگستروم را برای $Mg-Al-NO_3$ ارائه کرده‌اند (Lozano-Luner *et al.*, 2023). ایمران و همکاران (Imran *et al.*, 2016) این فاصله را برای ترکیب $Mg-Fe-NO_3$ LDH حدود ۸/۰ آنگستروم گزارش نموده‌اند. همچنین حسن‌زاده و همکاران (Hassanzadeh *et al.*, 2024) فاصله بین لایه‌ای ۷/۹۴ تا ۸/۰ آنگستروم را برای LDH حاوی نیترات ذکر کرده‌اند.

نتایج مطالعات محققین مختلف مطابقت دارد (Thevento *et al.*, 1989; Rojas *et al.*, 2010; Klemkaite *et al.*, 2011). به‌طور کلی پارامترهای شبکه به دست آمده در محدوده گزارش شده توسط سایر محققین قرار داشتند. فاصله بین لایه‌ای (d-spacing) در LDHs یک پارامتر ساختاری کلیدی است که تحت تأثیر عوامل متعددی مانند نوع آنیون، نسبت مولی یون‌های فلزی و شرایط سنتز قرار می‌گیرد. تفاوت‌های مشاهده‌شده در d-spacing در مطالعات مختلف می‌تواند ناشی از تغییرات در ترکیب شیمیایی، نوع آنیون بین لایه‌ای، روش‌های سنتز،

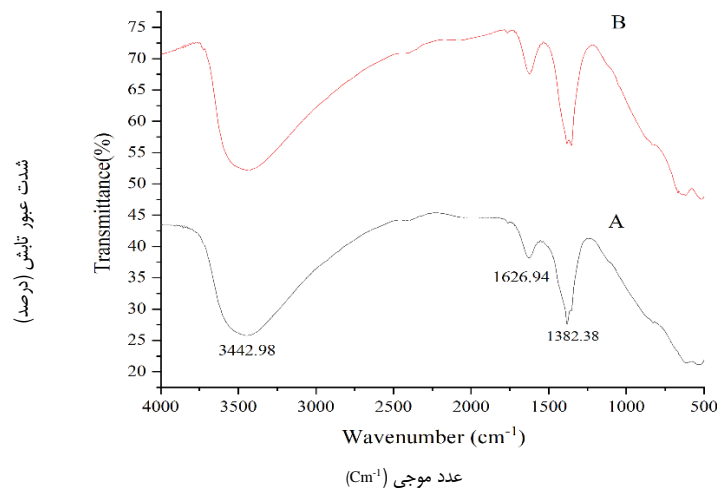


شکل ۱- الگوی پراش نگار پرتو ایکس (A) LDH (3:1) و (B) LDH (4:1)
Figure 1- XRD pattern of LDH (3:1) (A) and LDH (4:1) (B)

جدول ۲- پارامترهای شبکه LDHs
Table 2- Lattice parameters of LDHs

نوع LDH LDH Type	نسبت کاتیون دو به سه ظرفیتی Divalent to Trivalent Cation Ratio	پارامترهای لاتیکی (Å) Lattice parameters			
		$d_{(003)}$ (Å)	$d_{(110)}$ (Å)	فاصله کاتیون-کاتیون (a) Cation-cation distance (Å)	فاصله بین لایه‌ای (c) Thickness of the interlayer (Å)
LDH (3:1)	3	7.966	1.540	3.081	23.899
LDH (4:1)	4	8.045	1.562	3.124	24.134

اندازه کریستال
Crystallite sizes (nm)



شکل ۲- طیف مادون قرمز LDH (3:1) (A) و LDH (4:1) (B)
Figure 2- FT-IR spectra of LDH (3:1) (A) and LDH (4:1) (B)

به عنا صر روی، منگنز و آلومینیوم بوده که سنتز موفقیت‌آمیز LDHs را تأیید می‌نماید.

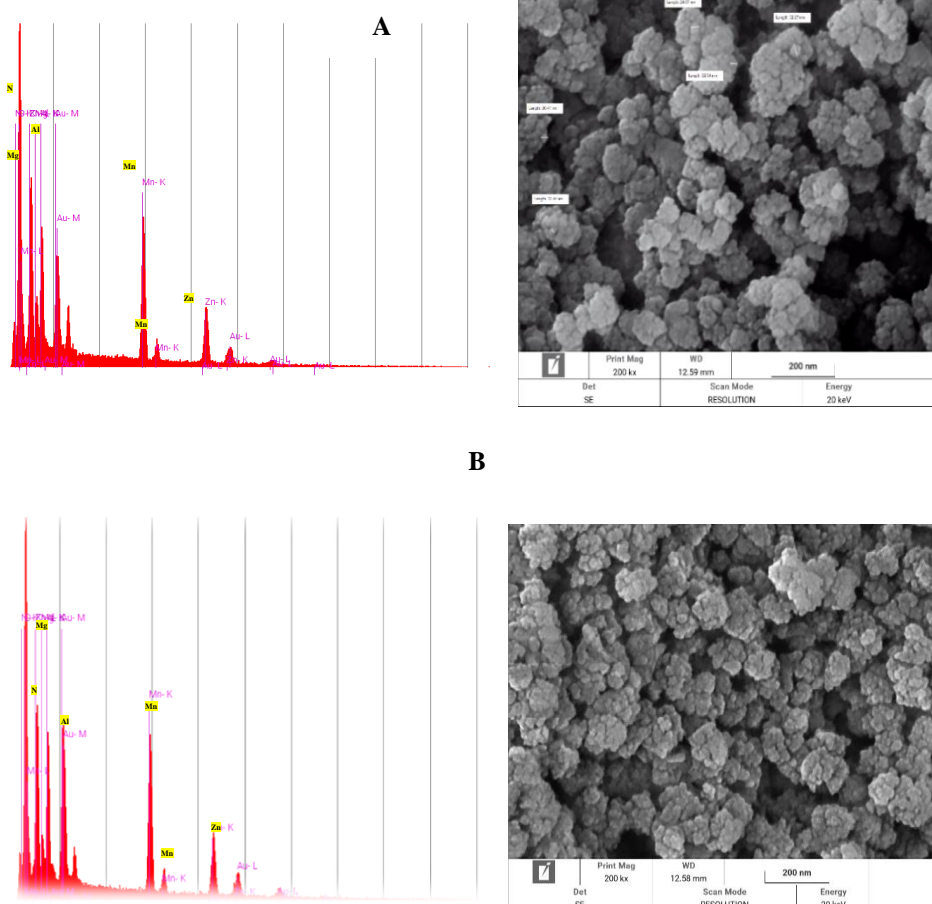
رها سازی تجمعی عناصر روی، منگنز و منیزیم از LDH (3:1) و LDH (4:1) در حضور و عدم حضور اسید سیتریک و اسید تارتاریک در شکل ۴ نشان داده شده است.

استفاده از اسیدهای آلی منجر به افزایش فرآیند رها سازی عناصر روی، منگنز و منیزیم از هر دو نوع LDH نسبت به تیمار بدون حضور اسیدهای آلی در طول زمان گردید و روند آزاد سازی عناصر با یک شیب ملایم بعد از زمان ۷۲۰ دقیقه همچنان ادامه داشت (شکل ۴). از سوی دیگر سرعت رها سازی عناصر غیر یکنواخت و قابل تشخیص در دو مرحله متفاوت بود. مرحله اول حدوداً در ۵۰ دقیقه ابتدای آزمایش رخ داد که رها سازی عناصر دارای شیب تندتر و سرعت بالاتر در مقایسه با مرحله دوم بود. مرحله دوم که بعد از ۵۰ دقیقه اتفاق افتاد شیب ملایم‌تر و سرعت کم‌تری داشت. به احتمال زیاد در زمان‌های ابتدای آزمایش سطوح خارجی و لبه‌های LDHs نقش پررنگ‌تری در رها سازی عناصر ایفا کردند و از آنجایی که دسترسی به این مکان‌ها سریع‌تر رخ اتفاق می‌افتد، در نتیجه سرعت انحلال و آزاد سازی عناصر نیز بیشتر شد. در مرحله دوم رها سازی از سطوح داخلی و یا سطوحی با انرژی متفاوت انجام گرفته است (Sparks, 1986). به طور کلی سرعت کندترین مرحله تعیین کننده سرعت انتقال جرم در طول مدت انحلال خواهد بود (Baranimotlagh & Gholami, 2013). نتایج به دست آمده مشابه نتایج گزارش شده توسط سایر محققین بود (Songkhum et al., 2018; Shafigh et al., 2019; Nunes et al., 2020).

طیف FTIR مربوط به LDH (3:1) و LDH (4:1) مورد مطالعه در شکل ۲ نشان داده شده است. با توجه به این طیف می‌توان ساختار LDH (3:1) و LDH (4:1) را مورد بررسی و شناسایی قرار داد. وجود باند پهن در محدوده 3480 و 1620 cm^{-1} نشان‌دهنده ارتعاشات کششی گروه‌های هیدروکسیل و لرزش پیوندهای OH-OH بر روی هم و مولکول‌های آب بین لایه‌ای است. به طور کلی باندهایی که در محدوده کمتر از 1000 cm^{-1} ظاهر می‌شوند مربوط به کشیدگی پیوندهای کاتیون فلزی با گروه‌های هیدروکسیل می‌باشد. باریکه جذبی در 1382 cm^{-1} مربوط به ارتعاشات کششی آنیون نیتрат و در نتیجه نشان‌دهنده جای‌گیری نیترات بین لایه‌ای در ساختار LDH (3:1) است.

بررسی نتایج حاصل از طیف سنجی مادون قرمز LDH (4:1) نیز وجود گروه‌های هیدروکسیل و مولکول‌های آب بین لایه‌ای و آنیون نیترات را تأیید می‌نماید. اما دو شانه‌ای شدن باریکه جذبی در محدوده 1380 و 1354 cm^{-1} وجود یک باند ضعیف در محدوده 1354 cm^{-1} نشان دهنده حضور مقدار اندکی کربنات در ساختار ترکیب است که احتمالاً در هنگام سنتز و آماده سازی نمونه‌ها توسط سیستم از هوا جذب شده است (Benicio et al., 2018).

تصاویر میکروسکوپ الکترونی (SEM) و طیف سنج پراش انرژی پرتو ایکس (EDS) مربوط به هیدروکسیدهای دوگانه لایه‌ای مورد مطالعه در شکل ۳ ارائه گردیده است. بر اساس این تصاویر ذرات LDH (3:1) و LDH (4:1) دارای ذرات منظم و بشقابی شکل بودند که این نوع مورفولوژی به عنوان مورفولوژی متداول برای این ترکیبات در نظر گرفته شده است (Dalla Nora et al., 2020). نتایج آنالیز طیف تفکیک انرژی (EDS) به طور مشخص شامل پیک‌های مربوط

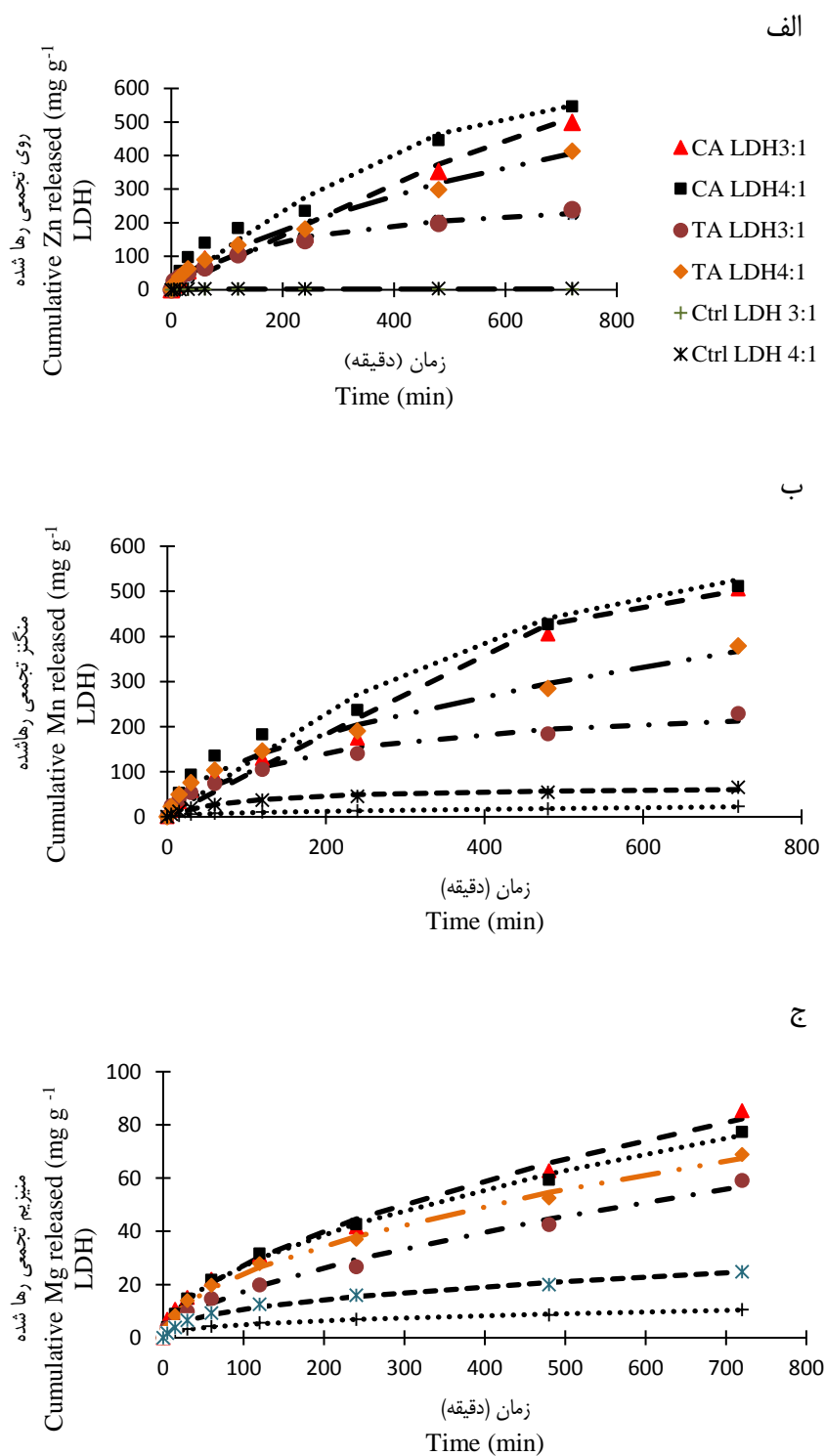


شکل ۳- تصاویر میکروسکوپ الکترونی و طیف سنج پراش انرژی پرتو ایکس در LDH (3:1) (A) و LDH (4:1) (B)
Figure 3- SEM images and EDS spectra of LDH (3:1) (A) and LDH (4:1) (B)

با اسید تارتاریک می‌باشد (Essington, 2015; Zabiszak *et al.*, 2018).

از آنجایی که بررسی سینتیک واکنش‌ها اطلاعات مهمی راجع به ماهیت واکنش در زمان معین ارائه می‌دهد، در این پژوهش به منظور مشخص نمودن سینتیک رهاسازی عناصر روی، منگنز و منیزیم از LDH (3:1) و LDH (4:1)، آنالیز رگرسیون غیر خطی برای برازش مدل‌های سینتیکی بر داده‌های رهاسازی عناصر در دوره‌های زمانی مختلف مورد استفاده قرار گرفت. از بین مدل‌های غیر خطی مورد استفاده، مدل شبه مرتبه اول دارای R^2 بین ۰/۹۹ - ۰/۸۱، مدل شبه مرتبه دوم دارای R^2 بین ۰/۹۹ - ۰/۸۹، مدل الویج دارای R^2 بین ۰/۹۷ - ۰/۹۳، مدل تابع توانی دارای R^2 بین ۰/۸۹ - ۰/۹۹ و مدل پخشیدگی پارابولی دارای R^2 بین ۰/۸۶ - ۰/۵۵ بود.

مقایسه تأثیر نوع اسید آلی بر مقدار رهاسازی روی، منگنز و منیزیم از LDH (3:1) و LDH (4:1) نشان داد اسید سیتریک قدرت بیشتری در رهاسازی عناصر از LDHs داشته است و در هر دو نوع LDH رهاسازی عناصر در حضور اسید سیتریک بیش از رهاسازی در حضور اسید تارتاریک بود. به طور مشخص در ساختار LDH (3:1) حضور اسید سیتریک موجب افزایش بیش از ۱۰۰ درصدی در رهاسازی عناصر روی و منگنز و افزایش ۴۴ درصدی در رهاسازی منیزیم در مقایسه با اسید تارتاریک شد. همچنین در LDH (4:1) اسید سیتریک به ترتیب باعث افزایش ۳۲، ۳۵ و ۱۳ درصدی در رهاسازی عناصر روی، منگنز و منیزیم نسبت به اسید تارتاریک گردید. وجود سه گروه کربوکسیل و گونه‌های شیمیایی مختلف لیگاند‌های کمپلکس کننده اسید سیتریک در انواع H_2L ، H_3L و HL و L و توانایی آن در تشکیل کمپلکس‌های دودندانه، سه‌دندانه و چنددندانه با یون‌های فلزی مختلف همراه با افزایش pH و همچنین pK_{a1} برابر با ۳/۱۳ دلیل آزادسازی بیشتر عناصر در حضور اسید سیتریک در مقایسه



شکل ۴- سینتیک رهاسازی روی (الف)، منگنز (ب) و منیزیم (ج) از LDH (3:1) و LDH (4:1) در حضور و عدم حضور (Ctrl) اسید سیتریک (CA) و اسید تارتاریک (TA) با برازش مدل شبه مرتبه دوم بر داده‌های سینتیکی

Figure 4- The kinetics of Zn(a), Mn(b) and Mg(c) released LDH (3:1) and LDH (4:1) in the absence (Ctrl) or presence of the Citric acid (CA) and Tartaric acid (TA) data. Curves have been fitted as pseudo-second-order

(3:1) و LDH (4:1) به ترتیب و ۱۱/۸۷ و ۱۰/۹۵ و مقادیر ضریب b به ترتیب ۰/۴۴ و ۰/۸۱ تعیین شد (جدول ۳). در عدم حضور اسید تارتاریک نیز مقادیر ضریب a برای این دو ساختار به ترتیب ۱/۰۵ و ۵/۳ و مقادیر ضریب b به ترتیب ۰/۴۶ و ۰/۳۸ بود (جدول ۳). در بررسی رها سازی منیزیم از LDH (3:1) و LDH (4:1) در حضور اسید سیتریک مقادیر ضریب a به ترتیب ۲/۱۱ و ۲/۴۲ و در عدم حضور اسید سیتریک، این مقادیر به ترتیب ۰/۸۴ و ۱/۵۲ به دست آمد (جدول ۳). علاوه بر این مقادیر ضریب b برای این دو نوع ساختار LDH در حضور اسید سیتریک به ترتیب ۰/۵۶ و ۰/۵۲ و در تیمار عدم حضور اسید سیتریک به ترتیب ۰/۳۸ و ۰/۴۲ تعیین شد (جدول ۳). بیشتر بودن ضریب a و کمتر بودن ضریب b برای LDH (4:1) نشان دهنده بالاتر بودن سرعت رها سازی منیزیم در حضور اسید سیتریک از LDH (4:1) نسبت به LDH (3:1) است (Motaghian & Hosseinpour, 2014). در حضور اسید تارتاریک نیز مقادیر ضریب a برای LDH (3:1) و LDH (4:1) به ترتیب ۱/۱ و ۲/۲ و در عدم حضور اسید تارتاریک به ترتیب ۰/۸۴ و ۱/۵۲ و مقادیر ضریب b برای این دو ساختار در حضور اسید تارتاریک به ترتیب ۰/۵۹ و ۰/۵۲ و در عدم حضور اسید تارتاریک به ترتیب ۰/۳۸ و ۰/۴۲ به دست آمد (جدول ۳). نتایج نشان داد که در زمان‌های اولیه انجام واکنش، رها سازی منیزیم از LDH (4:1) در حضور اسید تارتاریک با سرعت بیشتری نسبت به LDH (3:1) انجام شد. به طور کلی، این یافته‌ها نشان داد که نوع ساختار LDH و نوع اسید آلی تأثیر قابل توجهی بر سینتیک رها سازی منیزیم دارد.

در بررسی پارامترهای حاصل از مدل شبه مرتبه دوم در رها سازی روی از LDH (3:1) در حضور اسید سیتریک مقدار سرعت رها سازی اولیه (h) برابر با ۰/۸۴ میلی گرم بر گرم در دقیقه، در حضور اسید تارتاریک این پارامتر برابر با ۱/۴۲ میلی گرم بر گرم در دقیقه و بدون حضور اسید سیتریک و اسید تارتاریک این پارامتر ۰/۰۷ میلی گرم بر گرم در دقیقه به دست آمد. علاوه بر این مقدار غلظت روی تعادلی محاسبه شده (qe) در LDH (3:1) هم در حضور اسید سیتریک و هم در حضور اسید تارتاریک در مقایسه با عدم حضور اسید سیتریک و اسید تارتاریک افزایش ۹۹ درصدی را نشان داد (جدول ۳). در رها سازی روی از LDH (4:1) در حضور اسید سیتریک و اسید تارتاریک مقدار h به ترتیب برابر با ۱/۳۳ و ۱/۱۱ میلی گرم بر گرم در دقیقه و بدون حضور دو نوع اسید این پارامتر ۰/۲۸ میلی گرم بر گرم در دقیقه به دست آمد. غلظت روی تعادلی (qe) در LDH (4:1) در حضور اسیدهای آلی سیتریک و تارتاریک در مقایسه با عدم حضور این اسیدها به ترتیب افزایش ۹۷ درصدی و ۹۳ درصدی داشت.

با توجه به این که معادلات سینتیکی شبه مرتبه اول، الویج ساده شده و پارابولیکی در مقایسه با معادلات تابع توانی و شبه مرتبه دوم قادر به توصیف مناسب رها سازی عناصر مورد مطالعه نبودند در ادامه بررسی نشدند و مدل‌های تابع توانی و شبه مرتبه دوم با ضریب تبیین بزرگتر (R^2) و خطای استاندارد کمتر (SE) جهت تحلیل داده‌های سینتیکی مورد استفاده قرار گرفتند. مطالعات متعددی کارایی مدل شبه مرتبه دوم و تابع توانی را در تحلیل داده‌های سینتیکی تأیید نموده‌اند (Olama et al., 2010; Hansen & Strawn, 2003). جدول ۳ پارامترهای سینتیکی مدل تابع توانی و مدل شبه مرتبه دوم را نشان می‌دهد.

در مدل تابع توانی مقدار ضرایب a و b شاخص تعیین کننده مقدار سرعت انجام واکنش به ویژه در ساعات اولیه انجام واکنش می‌باشند. ضریب b عددی مثبت و کوچک‌تر از ۱ است. پارامتر a غلظت اولیه عنصر رها شده را نشان می‌دهد. افزایش در مقدار ضریب a و کاهش مقدار ضریب b افزایش سرعت واکنش را نشان می‌دهد (Motaghian et al., 2016; Peng et al., 2018).

در رها سازی روی از LDH (3:1) و LDH (4:1) ضریب a در حضور اسید سیتریک به ترتیب ۱/۵۹ و ۵/۱۷ و در عدم حضور اسید سیتریک به ترتیب ۰/۴۶ و ۰/۶۹ بود (جدول ۳). علاوه بر این، مقدار ضریب b برای این دو نوع LDH در حضور اسید سیتریک به ترتیب ۰/۸۸ و ۰/۷۳ و در عدم حضور اسید سیتریک به ترتیب ۰/۲۶ و ۰/۲۷ تعیین شد (جدول ۳). بیشتر بودن ضریب a و کمتر بودن ضریب b برای LDH (4:1) نشان دهنده سرعت رها سازی بیشتر روی از LDH (4:1) در حضور اسید سیتریک در مقایسه با LDH (3:1) است (Motaghian et al., 2016). مقادیر ضریب a برای رها سازی روی از LDH (3:1) و LDH (4:1) در حضور اسید تارتاریک به ترتیب ۱/۰۲ و ۵/۲۲ و در عدم حضور اسید سیتریک به ترتیب ۰/۴۶ و ۰/۶۹ بود (جدول ۳). همچنین مقدار ضریب b برای آن‌ها به ترتیب ۰/۴۸ و ۰/۶۶ به دست آمد که در اینجا نیز ضریب a نشان می‌دهد در زمان‌های اولیه انجام واکنش در حضور اسید تارتاریک، رها سازی روی از LDH (3:1) در مقایسه با LDH (4:1) با سرعت بیشتری انجام شده است (Reyhanitabar & Gilkes, 2010).

در بررسی رها سازی منگنز از ساختارهای LDH (3:1) و LDH (4:1) در حضور اسید سیتریک، مقادیر ضریب a به ترتیب ۱/۰۲ و ۳/۳۳ به دست آمد (جدول ۳). همچنین مقادیر ضریب b برای این دو نوع LDH در حضور اسید سیتریک به ترتیب ۰/۹۷ و ۰/۸۱ و در عدم حضور اسید سیتریک ۰/۴۶ و ۰/۳۸ تعیین شد (جدول ۳). این نتایج نشان داد که سرعت واکنش رها سازی منگنز از ساختار LDH (4:1) در حضور اسید سیتریک در مقایسه با LDH (3:1) بیشتر است. از سوی دیگر، در حضور اسید تارتاریک، مقادیر ضریب a برای LDH

جدول ۳- پارامترهای مدل سینتیکی برازش داده شده بر داده‌های رهاسازی روی، منگنز و منیزیم در عدم حضور (Ctrl) و حضور اسید سیتریک (CA) و اسید تارتاریک (TA)

Table 4- The kinetic parameters release of Zn, Mn, and Mg from the LDH (3:1) and LDH (4:1) in the absence (Ctrl) and presence of Citric acid (CA) and Tartaric acid (TA)

			معادله شبه مرتبه دوم Pseudo second order model					معادله تابع توانی Power function model			
نوع اسید آلی Organic acid type	نوع LDH Type	LDH Type	q _e (mg g ⁻¹)	K ₂ (g mg ⁻¹ min ⁻¹)	h (mg g ⁻¹ min ⁻¹)	R ²	SE	a	b	R ²	SE
روی Zinc	LDH (3:1)	Ctrl	2.49	0.01	0.07	0.99	6.21	0.46	0.26	0.89	0.27
		CA	5656.70	3×10 ⁻⁸	0.84	0.98	28.42	1.59	0.88	0.99	27.84
		TA	292.52	2×10 ⁻⁵	1.42	0.98	12.69	10.20	0.48	0.99	4.17
	LDH (4:1)	Ctrl	55.30	0.02	0.28	0.99	0.17	0.69	0.27	0.88	0.53
		CA	2015.71	3.3×10 ⁻⁷	1.33	0.96	45.37	5.17	0.73	0.98	36.00
		TA	847.57	1.6×10 ⁻⁶	1.11	0.97	25.56	5.22	0.66	0.99	15.57
منگنز Manganese	LDH (3:1)	Ctrl	25.33	2×10 ⁻⁴	0.15	0.96	1.45	1.05	0.46	0.99	0.84
		CA	8471.53	1.3×10 ⁻⁸	0.94	0.98	29.08	1.02	0.97	0.98	29.79
		TA	260.75	2×10 ⁻⁵	1.59	0.97	14.05	11.87	0.44	0.99	2.74
	LDH (4:1)	Ctrl	67.98	1.61×10 ⁻⁴	0.74	0.98	3.28	5.30	0.38	0.98	2.85
		CA	4348.49	6.38×10 ⁻⁸	1.21	0.97	44.22	3.33	0.81	0.98	40.13
		TA	498.35	6.7×10 ⁻⁶	1.66	0.96	25.07	10.95	0.53	0.99	10.05
منیزیم Magnesium	LDH (3:1)	Ctrl	10.68	3.06×10 ⁻⁴	0.12	0.96	0.69	0.84	0.38	0.99	0.35
		CA	119.72	2.00×10 ⁻⁵	0.33	0.97	5.63	2.11	0.56	0.99	2.42
		TA	92.97	2.00×10 ⁻⁵	0.19	0.97	3.83	1.10	0.59	0.99	1.97
	LDH (4:1)	Ctrl	26.64	3.00×10 ⁻⁴	0.21	0.98	1.32	1.52	0.42	0.99	0.89
		CA	185.79	5.3×10 ⁻⁶	0.18	0.89	9.98	2.42	0.52	0.99	1.56
		TA	86.84	4.5×10 ⁻⁵	0.34	0.97	4.04	2.20	0.52	0.99	1.57

حضور اسید سیتریک افزایش ۹۱ درصدی و در حضور اسید تارتاریک افزایش ۸۹ درصدی را نشان داد (جدول ۳). در رهاسازی منیزیم از LDH (4:1) در حضور اسید سیتریک و اسید تارتاریک مقدار h به ترتیب برابر با ۰/۱۸ و ۰/۳۴ میلی گرم بر گرم در دقیقه به دست آمد. غلظت منیزیم تعادلی (q_e) در LDH (4:1) در حضور هر دو نوع اسید آلی سیتریک و تارتاریک در مقایسه با عدم حضور اسید سیتریک و اسید تارتاریک به ترتیب افزایش ۸۵ درصدی و ۶۹ درصدی داشت (جدول ۳).

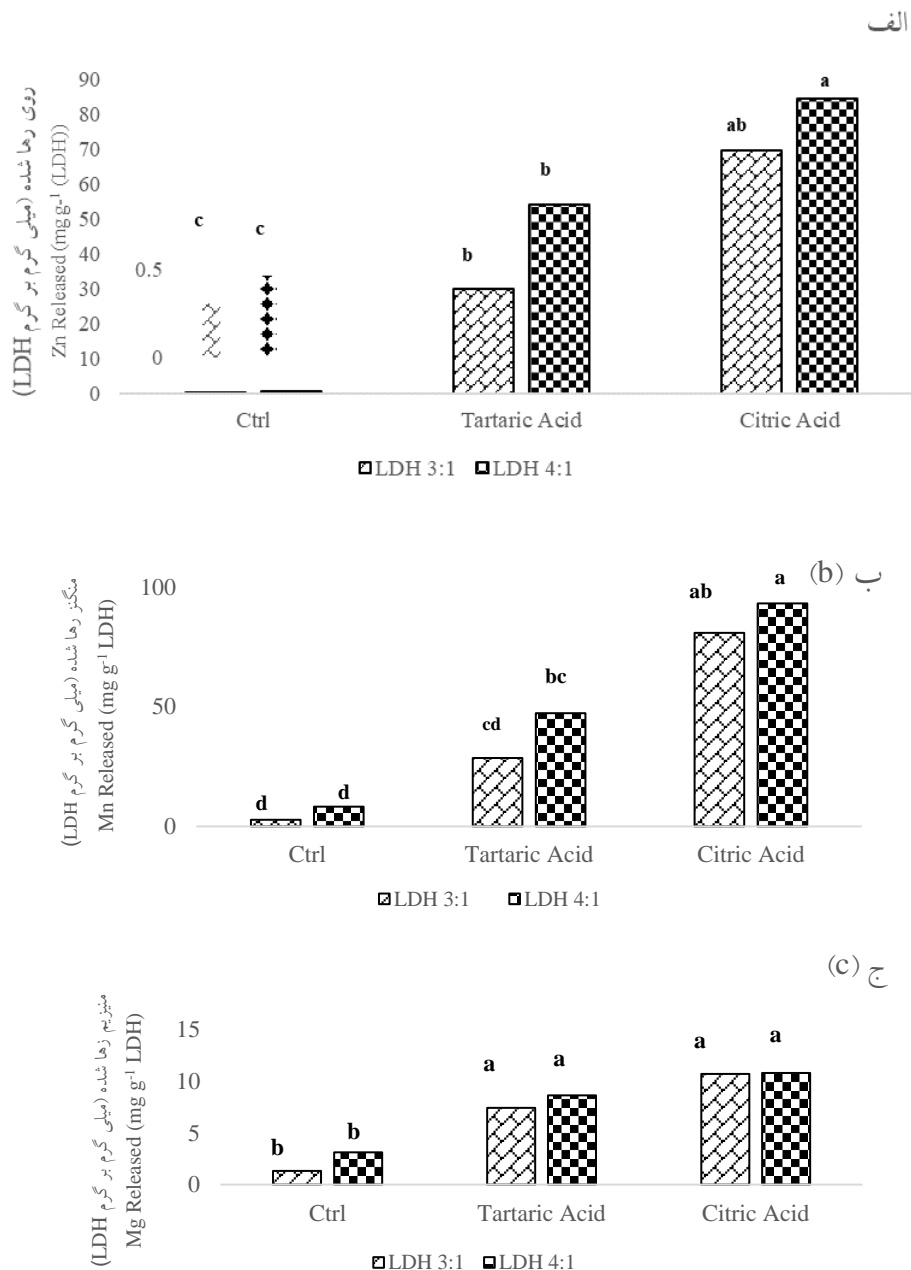
حضور اسیدهای آلی سیتریک و تارتاریک اثر قابل توجهی بر پارامترهای مدل شبه مرتبه دوم گذاشت. سرعت رهاسازی اولیه عناصر (h) و مقایسه آن در رهاسازی عناصر روی، منگنز و منیزیم در LDH (3:1) و LDH (4:1) با عدم حضور اسید سیتریک و اسید تارتاریک نشان داد که وجود اسیدهای آلی به دلیل تشکیل گونه‌های کمپلکس و افزایش گونه‌های محلول تأثیر قابل توجهی بر سرعت انحلال و رهاسازی عناصر داشته است. نتایج پژوهش حاضر نشان داد که اسید سیتریک توانایی بیشتری در رهاسازی عناصر از LDHs در مقایسه با اسید تارتاریک داشت (شکل ۴). علت این امر می‌تواند بالاتر بودن ثابت پایداری کمپلکس سیترات با فلزات و تشکیل کمپلکس‌های چند دندانه سیترات با فلزات که حاصل داشتن سه گروه کربوکسیلیک باشد (Essington, 2015). به عبارت دیگر اسید تارتاریک به دلیل داشتن دو گروه کربوکسیلیک، تشکیل کمپلکس‌های دو دندانه و با

در رهاسازی منگنز از LDH (3:1) در حضور اسید سیتریک مقدار سرعت رهاسازی اولیه (h) برابر با ۰/۹۴ میلی گرم بر گرم در دقیقه، در حضور اسید تارتاریک این پارامتر برابر با ۱/۵۹ میلی گرم بر گرم در دقیقه و بدون حضور اسید سیتریک و اسید تارتاریک این پارامتر ۰/۱۵ میلی گرم بر گرم در دقیقه بود. علاوه بر این مقدار غلظت منگنز تعادلی محاسبه شده (q_e) در LDH (3:1) در حضور اسید سیتریک افزایش ۹۹ درصدی و در حضور اسید تارتاریک افزایش ۹۰ درصدی را در مقایسه با عدم حضور اسید سیتریک نشان داد (جدول ۳). در رهاسازی منگنز از LDH (4:1) در حضور اسید سیتریک و اسید تارتاریک مقدار h به ترتیب برابر با ۱/۲۱ و ۱/۶۶ میلی گرم بر گرم در دقیقه و در عدم حضور این دو اسید این پارامتر ۰/۷۴ میلی گرم بر گرم در دقیقه به دست آمد. غلظت منگنز تعادلی (q_e) در LDH (4:1) در حضور دو نوع اسید آلی سیتریک و تارتاریک در مقایسه با عدم حضور اسید سیتریک و اسید تارتاریک به ترتیب افزایش ۹۸ درصدی و ۸۶ درصدی داشت (جدول ۳).

در رهاسازی منیزیم از LDH (3:1) در حضور اسید سیتریک مقدار h برابر با ۰/۳۳ میلی گرم بر گرم در دقیقه، در حضور اسید تارتاریک این پارامتر برابر با ۰/۱۹ میلی گرم بر گرم در دقیقه و بدون حضور اسید سیتریک و اسید تارتاریک این پارامتر ۰/۱۲ میلی گرم بر گرم در دقیقه بود. علاوه بر این مقدار غلظت منیزیم تعادلی محاسبه شده (q_e) در LDH (3:1) در حضور اسید سیتریک در مقایسه با عدم

همکاران (Lakshani *et al.*, 2023) و موحدی راد و حمیدپور (Movahedirad & Hamidpour, 2024) اشاره نمود. (Shafigh *et al.*, 2019)، لکشانی و

ثابت پایداری کمپلکس کمتر می‌دهد (Essington, 2015). پژوهشگران متعددی در تحقیقات خود نتایج مشابهی گزارش نموده‌اند که از آن جمله می‌توان به نتایج آدلک و همکاران (Adeleke *et al.*,)



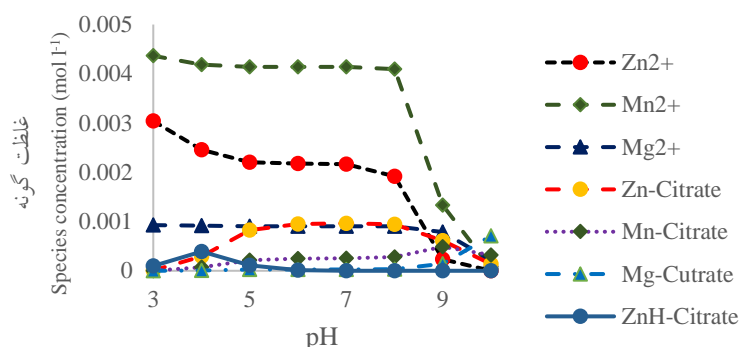
شکل ۵- رهاسازی روی (الف)، منگنز (ب) و منیزیم (ج) تعادلی از LDH (4:1) و LDH (3:1) در حضور و عدم حضور اسید سیتریک و اسید تارتاریک

(میانگین‌های دارای حروف مشترک فاقد اختلاف معنی‌دار در سطح احتمال ۵ درصد بر اساس آزمون دانکن می‌باشند)

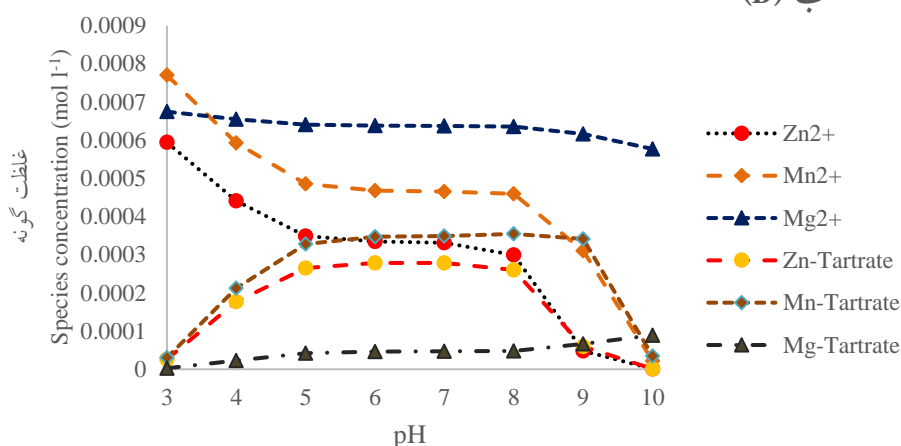
Figure 5- Zn (a), Mn (b) and Mg (c) released from LDH (3:1) and LDH (4:1) in the absence (Ctrl) or presence of the Citric acid and Tartaric acid

(Same letter within each column are not significantly different according to Duncan test at $p \leq 0.05$)

(A) الف



(B) ب



شکل ۶- گونه‌بندی عناصر روی، منگنز و منیزیم در حضور اسید سیتریک (الف) و اسید تارتاریک (ب)

Figure 6- Speciation of zinc, manganese and magnesium in the presence of Citric Acid (A) and Tartaric acid (B)

در (۴:۱) در مقایسه با LDH (۳:۱) بیشتر بود. علاوه بر این، مقدار رها سازی عناصر در حضور اسید سیتریک نسبت به اسید تارتاریک افزایش قابل توجهی داشت و این مقدار در مقایسه با عدم حضور اسید آلی اختلاف میانگین معنی‌داری را نشان داد.

ثبات و پایداری هیدروکسیدهای دوگانه لایه‌ای به نوع کاتیون‌های دو ظرفیتی و سه ظرفیتی، نسبت آن‌ها و همچنین آنیون بین لایه‌ای بستگی دارد (Khan, Tahir & Khan, 2023). ونگ و همکاران (Wang et al., 2017) گزارش نموده‌اند که نسبت کاتیون‌های دو به سه ظرفیتی اثر قابل توجهی بر رها سازی لحظه‌ای عناصر دارند. تغییر نسبت مولی کاتیون‌ها منجر به تغییر پایداری LDH می‌گردد. با کاهش نسبت مولی کاتیون سه ظرفیتی و با افزایش نسبت کاتیون‌های دو ظرفیتی به سه ظرفیتی پایداری LDH کاهش می‌یابد. نتایج حاصل از این پژوهش مشابیه نتایج اوررت و همکاران

در شکل ۵ مقایسه اثر نوع LDH بر رها سازی عناصر در زمان تعادل نشان داده شده است. همان‌طور که در شکل مشخص است مقدار رها سازی روی، منگنز و منیزیم از LDH (۴:۱) بیشتر از مقدار رها سازی این عناصر از LDH (۳:۱) است علاوه بر این نتایج نشان داد که LDH (۳:۱) و LDH (۴:۱) به ترتیب دارای سطح ویژه ۵/۵ و ۱۶/۵۴ متر مربع در گرم و به‌طور میانگین دارای قطر منافذ ۱/۹۲ و ۲/۵۵ نانومتر بودند و احتمالاً سطح ویژه بیشتر و میانگین قطر ذرات بزرگ‌تر در LDH (۴:۱) نسبت به LDH (۳:۱) منجر به افزایش دسترسی به سطوح LDH گردیده و همین امر رها سازی بیشتر عناصر از LDH (۴:۱) را به دنبال داشته است.

اگر چه از نظر آماری اختلاف معنی‌داری بین دو نوع LDH از نظر رها سازی روی و منگنز از در حضور اسید سیتریک و اسید تارتاریک وجود نداشت اما نتایج نشان داد که مقدار روی آزاد شده از LDH

رهاسازی عناصر از فاز جامد به فاز محلول افزایش می‌یابد.

نتیجه‌گیری

نتایج این پژوهش نشان داد عواملی همچون نوع اسید آلی، زمان و نسبت کاتیون دو ظرفیتی به سه ظرفیتی در ساختار هیدروکسیدهای دوگانه لایه‌ای در رهاسازی عناصر روی، منگنز و منیزیم از آن نقش مستقیم داشته و تشکیل گونه‌های کمپلکس اسیدهای آلی با عناصر موجود در ساختار LDHs سرعت رهاسازی عناصر را افزایش داده است که می‌توان این شرایط را شبیه محلول خاک در ریزوسفر و جذب عناصر توسط ریشه گیاهان فرض نمود. اگر چه نتایج این پژوهش نشان داد که می‌توان با ساخت هیدروکسیدهای دوگانه لایه‌ای در نسبت‌های کاتیون دو ظرفیتی به سه ظرفیتی متفاوت، در مقدار و چگونگی آزادسازی عناصر کم‌مصرف تأثیر گذاشت ولی به‌منظور تأیید کارایی LDHs به‌عنوان یک کود کندرها برای تأمین عناصر کم مصرف مورد نیاز گیاه در خاک‌های آهکی انجام مطالعات گلخانه‌ای و خاکی نیاز است.

(Everaert *et al.*, 2016) بود.

به‌منظور تفسیر اثر اسید سیتریک و اسید تارتاریک بر روند انحلال و آزادسازی عناصر از LDH (3:1) و LDH (4:1) از گونه‌بندی شبیه‌سازی شده توسط نرم‌افزار Visual Minteq استفاده گردید که نتایج آن در شکل ۶ نشان داده شده است.

همان‌گونه که در شکل ۶ مشخص است در حضور اسید سیتریک (شکل ۶ الف) و اسید تارتاریک (شکل ۶ ب) علاوه بر گونه‌های آزاد Zn^{2+} ، Mn^{2+} و Mg^{2+} در دامنه pH بین ۳ تا ۸، در محلول گونه‌های کمپلکس Zn -Citrate، Mn -Citrate، Mg -Citrate، Zn -Tartrate، Mn -Tartrate و Mg -Tartrate نیز تشکیل شده‌اند. موحدی راد و حمیدپور (Movahedirad & Hamidpour, 2024) گزارش نمودند در حضور اسید مالیک تشکیل گونه‌های کمپلکس بدون بار عناصر روی، منگنز و منیزیم با آنیون ملات منجر به افزایش سرعت رهاسازی این عناصر می‌گردد. در حضور اسیدهای آلی تشکیل گونه‌های کمپلکس در مقایسه با شرایط بدون حضور اسیدهای آلی منجر به افزایش انحلال کانی و رهاسازی عناصر ساختاری آن می‌گردد. تشکیل گونه‌های کمپلکس منجر به کاهش جذب سطحی و کاهش رسوب کاتیون‌های آزاد شده گردیده و همچنین حضور این گونه‌ها در فاز محلول از غلظت گونه‌های آزاد کاسته و در نتیجه

References

1. Adeleke, R., Nwangburuka, C., & Oboirien, B. (2017). Origins, roles and fate of organic acids in soils: A review. *South African Journal of Botany*, 108, 393-406. <https://doi.org/10.1016/j.sajb.2016.09.002>
2. Alexandratos, N., & Bruinsma, J. (2012). *World Agriculture Towards 2030/2050: the 2012 revision*. ESA Work. Paper No 12-03. Global Perspective Studies Team FAO Agricultural Development Economics Division.
3. Baranimotlagh, M., & Gholami, M. (2013). Time-dependent zinc desorption in some calcareous soils of Iran. *Pedosphere*, 23(2), 185-193. [https://doi.org/10.1016/S1002-0160\(13\)60006-5](https://doi.org/10.1016/S1002-0160(13)60006-5)
4. Benicio, L.P.F., Constantino, V.R.L., Pinto, F.G., Vergutz, L., Tronto, J., & Da Costa, L.M. (2017). Layered double hydroxides: new technology in phosphate fertilizers based on nanostructured materials. *ACS Sustainable Chemistry & Engineering*, 5(1), 399-409. <https://doi.org/10.1021/acssuschemeng.6b01784>
5. Benicio, L.P.F., Eulalio, D., Guimaraes, L.D.M., Pinto, F.G., Costa, L.M.D., & Tronto, J. (2018). Layered double hydroxides as hosting matrices for storage and slow release of phosphate analyzed by stirred-flow method. *Materials Research*, 21(6), e20171004. <https://doi.org/10.1590/1980-5373-MR-2017-1004>
6. Bernardo, M.P., Moreira, F.K., & Ribeiro, C. (2017). Synthesis and characterization of eco-friendly Ca-Al-LDH loaded with phosphate for agricultural applications. *Applied Clay Science*, 137, 143-150. <https://doi.org/10.1016/j.clay.2016.12.022>
7. Cardoso, L.P., Celis, R., Cornejo, J., & Valim, J.B. (2006). Layered double hydroxides as supports for the slow release of acid herbicides. *Journal of Agricultural and Food Chemistry*, 54(16), 5968-5975. <https://doi.org/10.1021/jf061026y>
8. Dalla Nora, F.B., Lima, V.V., Oliveira, M.L., Hosseini-Bandegharai, A., de Lima Burgo, T.A., Meili, L., & Dotto, G.L. (2020). Adsorptive potential of Zn-Al and Mg-Fe layered double hydroxides for the removal of 2-nitrophenol from aqueous solutions. *Journal of Environmental Chemical Engineering*, 8(4), 103913. <https://doi.org/10.1016/j.jece.2020.103913>
9. Essington, M.E. (2015). *Second edition Soil and Water Chemistry: an Integrative Approach*. CRC press.
10. Evans Jr, A. (1991). Influence of low molecular weight organic acids on zinc distribution within micronutrient pools and zinc uptake by wheat. *Journal of Plant Nutrition*, 14(12), 1307-1318. <https://doi.org/10.1080/01904169109364287>
11. Everaert, M., Warrinnier, R., Baken, S., Gustafsson, J.P., De Vos, D., & Smolders, E. (2016). Phosphate-exchanged Mg-Al layered double hydroxides: A new slow release phosphate fertilizer. *ACS Sustainable Chemistry & Engineering*, 4(8), 4280-4287. <https://doi.org/10.1021/acssuschemeng.6b00778>

12. Everaet, M., Andelkovic, I.B., Smolders, E., Degryse, F., Baird, R., & McLaughlin, M.J. (2023). Layered transition metal molybdates as new slow-release micronutrient fertilizer matrices for Zn, Cu, and Mo. *Industrial & Engineering Chemistry Research*, 62(20), 7859-7867. <https://doi.org/10.1021/acs.iecr.3c00498>
13. Figueredo Benicio, L.P., Eulalio, D., Guimaraes, L.D.M., Pinto, F.G., Da Costac, L.M., & Tronto, J. (2018). Layered double hydroxides as hosting matrices for storage and slow release of phosphate. *Materials Research-Ibero-American Journal of Materials*, 21(6). <https://doi.org/10.1590/1980-5373-MR-2017-1004>
14. Hansen, J.C., & Strawn, D.G. (2003). Kinetics of phosphorus release from manure-amended alkaline soil. *Soil Science*, 168(12), 869-879. <https://doi.org/10.1097/01.ss.0000106408.84926.8f>
15. Halajnia, A., Oustan, S., Najafi, N., Khataee, A.R., & Lakzian, A. (2013). Adsorption-desorption characteristics of nitrate, phosphate and sulfate on Mg-Al layered double hydroxide. *Applied Clay Science*, 80, 305-312. <https://doi.org/10.1016/j.clay.2013.05.002>
16. Hassanzadeh, A., Hamidpour, M., Abbaszadeh Dahaji, P., Akhgar, A., & Kariman, K. (2024). Maximizing the efficiency of layered double hydroxides as a slow-release phosphate fertilizer: A study on the impact of plant growth-promoting rhizobacteria. *Applied Clay Science*, 262, 107620. <https://doi.org/10.1016/j.clay.2024.107620>
17. Hatami, H., & Fotovat, A. (2023). Evaluation of Zn[Mn]-Al LDHs as matrices for release of B, Zn and Mn in A simulated soil solution. *Journal of Water and Soil*, 36(6), 761-771. (In Persian with English abstract). <https://doi.org/10.1134/s1061933x20060058>
18. Hatami, H., Fotovat, A., & Halajnia, A. (2018). Comparison of adsorption and desorption of phosphate on synthesized Zn-Al LDH by two methods in a simulated soil solution. *Applied Clay Science*, 152, 333-341. <https://doi.org/10.1016/j.clay.2017.11.032>
19. Imran, A., López-Rayó, S., Magid, J., & Hansen, H.C.B. (2016). Dissolution kinetics of pyroaurite-type layered double hydroxide doped with Zn: perspectives for pH controlled micronutrient release. *Applied Clay Science*, 123, 56-63. <https://doi.org/10.1016/j.clay.2015.12.016>
20. Kameliya, J., Verma, A., Dutta, P., Arora, C., Vyas, S., & Varma, R.S. (2023). Layered double hydroxide materials: A Review on their preparation characterization and applications. *Inorganics*, 11(121), 1-22. <https://doi.org/10.3390/inorganics11030121>
21. Khan, A.A., Tahir, M., & Khan, N. (2023). LDH-based nanomaterials for photocatalytic applications: A comprehensive review on the role of bi/trivalent cations, anions, morphology, defect engineering, memory effect, and heterojunction formation. *Journal of Energy Chemistry*, 84, 242-276. <https://doi.org/10.1016/j.jechem.2023.04.049>
22. Klemkaite, K., Prosycevas, I., Taraskevicius, R., Khinsky, A., & Kareiva, A. (2011). Synthesis and characterization of layered double hydroxides with different cations (Mg, Co, Ni, Al), decomposition and reformation of mixed metal oxides to layered structures. *Open Chemistry*, 9(2), 275-282. <https://doi.org/10.2478/s11532-011-0007-9>
23. Koilraj, P., & Kannan, S. (2010). Phosphate uptake behavior of ZnAlZr ternary layered double hydroxides through surface precipitation. *Journal of Colloid and Interface Science*, 341(2), 289-297. <https://doi.org/10.1016/j.jcis.2009.09.059>
24. Lakshani, N., Wijerathne, H.S., Sandaruwan, C., Kottegodā, N., & Karunarathne, V. (2023). Release kinetic models and release mechanisms of controlled-release and slow-release fertilizers. *ACS Agricultural Science & Technology*, 3(11), 939-956. <https://doi.org/10.1021/acsagst.3c00152>
25. Li, F., & Duan, X. (2005). Applications of layered double hydroxides. *Struct Bond*, 119, 193-223.
26. Lozano-Lunar, A., Otero, R., Álvarez, J.I., Jiménez, J.R., & Fernández-Rodríguez, J.M. (2023). Application of layer double hydroxide in cementitious matrices for the improvement of the double barrier technique in the immobilisation of lead waste. *Applied Clay Science*, 238, 106938. <https://doi.org/10.1016/j.clay.2023.106938>
27. López-Rayó, S., Imran, A., Bruun Hansen, H.C., Schjoerring, J.K., & Magid, J. (2017). Layered double hydroxides: Potential release-on-demand fertilizers for plant zinc nutrition. *Journal of Agricultural and Food Chemistry*, 65(40), 8779-8789. <https://doi.org/10.1021/acs.jafc.7b02604>
28. Meili, L., Lins, P.V., Zanta, C.L.P.S., Soletti, J.I., Ribeiro, L.M.O., Dornelas, C.B., & Vieira, M.G.A. (2019). MgAl-LDH/Biochar composites for methylene blue removal by adsorption. *Applied Clay Science*, 168, 11-20. <https://doi.org/10.1016/j.clay.2018.10.012>
29. Mishra, G., Dash, B., & Pandey, S. (2018). Layered double hydroxides: A brief review from fundamentals to application as evolving biomaterials. *Applied Clay Science*, 153, 172-186. <https://doi.org/10.1016/j.clay.2017.12.021>
30. Motaghian, H.R., Hosseinpour, A., & Kiani, S. (2016). Zinc and copper release kinetics in a calcareous soil amended with manure and vermicompost. *Journal of Water and Soil*, 30(2), 581-593. (In Persian with English abstract).
31. Motaghian, H.R., & Hosseinpour, A.R. (2014). Impact of sewage sludge application on zinc desorption kinetics in some calcareous soils. *Environmental Earth Sciences*, 71, 4647-4655. <https://doi.org/10.1007/s12665-013-2855-4>

32. Movahedirad, Z., & Hamidpour, M. (2024). Release of zinc, manganese and magnesium from Mg-Zn-Mn-Al-LDH: Effect of malic acid and divalent to trivalent cation ratios in mineral structure. *Water and Soil*, 38(4), 495-509. (In Persian with English abstract).
33. Nunes, V.L.N., Mulvaney, R.L., Cantarutti, R.B., Pinto, F.G., & Tronto, J. (2020). Improving nitrate fertilization by encapsulating Zn-Al layered double hydroxides in alginate beads. *Nitrogen*, 1, 125-136. <https://doi.org/10.3390/nitrogen1020011>
34. Olama, V., Ronaghi, A., Karimian, N., Ghasemi-Fasaei, R., Yasrebi, J., & Tavajjoh, M. (2010). Copper release behavior in two calcareous soils amended with three organic materials. *Communications in Soil Science and Plant Analysis*, 41(20), 2448-2458. <https://doi.org/10.1080/00103624.2010.511376>
35. Peng, L., Liu, P., Feng, X., Wang, Z., Cheng, T., Liang, Y., & Shi, Z. (2018). Kinetics of heavy metal adsorption and desorption in soil: Developing a unified model based on chemical speciation. *Geochimica et Cosmochimica Acta*, 224, 282-300. <https://doi.org/10.1016/j.gca.2018.01.014>
36. Reyhanitabar, A., & Gilkes, R.J. (2010). Kinetics of DTPA extraction of zinc from calcareous soils. *Geoderma*, 154(3-4), 289-293. <https://doi.org/10.1016/j.geoderma.2009.10.016>
37. Rojas, R., Barriga, C., De Pauli, C.P., & Avena, M.J. (2010). Influence of carbonate intercalation in the surface-charging behavior of Zn-Cr layered double hydroxides. *Materials Chemistry and Physics*, 119(1-2), 303-308. <https://doi.org/10.1016/j.matchemphys.2009.09.001>
38. Roy, A.S., de Beer, M., Pillai, S.K., & Ray, S.S. (2023). Application of layered double hydroxides as a slow-release phosphate source: A Comparison of hydroponic and soil systems. *ACS Omega*, 8(17), 15017-15030. <https://doi.org/10.1021/acsomega.2c07862>
39. Shafigh, M., Hamidpour, M., & Furrer, G. (2019). Zinc release from Zn-Mg-Fe (III)-LDH intercalated with nitrate, phosphate and carbonate: The effects of low molecular weight organic acids. *Applied Clay Science*, 170, 135-142. <https://doi.org/10.1016/j.clay.2019.01.016>
40. Songkhum, P., Wuttikhun, T., Chanlek, N., Khemthong, P., & Laohhasurayotin, K. (2018). Controlled release studies of boron and zinc from layered double hydroxides as the micronutrient hosts for agricultural application. *Applied Clay Science*, 152, 311-322. <https://doi.org/10.1016/j.clay.2017.11.028>
41. Sparks, D.L. (1986). Kinetics of ionic reactions in clay minerals and soils. *Advances in Agronomy*, 38, 231-266. [https://doi.org/10.1016/S0065-2113\(08\)60677-X](https://doi.org/10.1016/S0065-2113(08)60677-X)
42. Thevenot, F., Szymanski, R., & Chaumette, P. (1989). Preparation and characterization of Al-rich Zn-Al hydrotalcite-like compounds. *Clays and Clay Minerals*, 37(5), 396-402. <https://doi.org/10.1346/CCMN.1989.0370502>
43. Wang, W., & Lu, Y., (2018). Analysis of the mean absolute error (MAE) and the root mean square error (RMSE) in assessing rounding model. *IOP Conf. Series: Materials Science Engineering*, 324, 012049. <https://doi.org/10.1088/1757-899X/324/1/012049>
44. Wang, X., Lin, Y., Su, Y., Zhang, B., Li, C., Wang, H., & Wang, L. (2017). Design and synthesis of ternary-component layered double hydroxides for high-performance supercapacitors: understanding the role of trivalent metal ions. *Electrochimica Acta*, 225, 263-271. <https://doi.org/10.1016/j.electacta.2016.12.160>
45. Zabiszak, M., Nowak, M., Taras-Goslinska, K., Kaczmarek, M.T., Hnatejko, Z., & Jastrzab, R. (2018). Carboxyl groups of citric acid in the process of complex formation with bivalent and trivalent metal ions in biological systems. *Journal of Inorganic Biochemistry*, 182, 37-47. <https://doi.org/10.1016/j.jinorgbio.2018.01.017>
46. Zhang, Sh., Gao, N., Shen, T., Yang, Y., Gao, B., Li, Y.C., & Wan, Y. (2019 a). One-step synthesis of superhydrophobic and multifunctional nano copper-modified bio-polyurethane for controlled-release fertilizers with multilayer air shields. new insight of improvement mechanism. *Journal of Materials Chemistry*, 7, 9503-9509. <https://doi.org/10.1039/C9TA00632J>
47. Zhang, Y., Xu, H., & Lu, S. (2021). Preparation and application of layered double hydroxide nanosheets. *Royal Society of Chemistry*, 11, 24254-24281. <https://doi.org/10.1039/d1ra03289e>